

Брюсселятор

Содержание

1 Нераспределенный случай	1
1.1 Исследование на устойчивость нераспределенного случая	1
1.2 Предварительный анализ нераспределенного случая в Wolfram Mathematica	2
1.3 Анализ нераспределенного случая на С	3
2 Распределенный случай	5
2.1 Явная реализация	5
2.2 Подготовительные расчеты	7
2.3 Метод Кранка-Николсона	9
2.4 Граничные условия	11
2.5 Исследование устойчивости разностной схемы	12
2.5.1 Признак максимума	12
2.5.2 Энергетический критерий устойчивости	12
2.6 Исследование на устойчивость распределенного случая	13
2.7 Неустойчивость Тьюринга	14
2.8 Реализация на С	15
2.9 Анализ распределенного случая на Wolfram	19

1 Нераспределенный случай

1.1 Исследование на устойчивость нераспределенного случая

$$\begin{cases} \dot{u} = A + u^2v - (B + 1)u + D_u\Delta u, \\ \dot{v} = -u^2v + Bu + D_v\Delta v. \end{cases} \quad (1)$$

Линеаризуем эту систему:

$$\begin{cases} A + u^2v - (B + 1)u = 0, \\ u(B - uv) = 0. \end{cases} \quad (2)$$

Предположим, что коэффициенты А и В больше нуля, тогда решение этой системы:

$$\begin{cases} \bar{u} = A, \\ \bar{v} = \frac{B}{A}. \end{cases} \quad (3)$$

Линеаризуем систему вблизи этой особой точки:

$$\xi = u - \bar{u}, \quad \eta = v - \bar{v}. \quad (4)$$

$$\begin{cases} \dot{\xi} = (B - 1)\xi + A^2\eta, \\ \dot{\eta} = -B\xi - A^2\eta. \end{cases} \quad (5)$$

Найдем собственные значения матрицы коэффициентов:

$$\begin{vmatrix} B - 1 - \lambda & A^2 \\ -B & -A^2 - \lambda \end{vmatrix} = 0. \quad (6)$$

$$\lambda^2 + (A^2 + 1 - B)\lambda + A^2 = 0. \quad (7)$$

Решения этого уравнения:

$$\lambda_{1,2} = -\frac{1}{2}(A^2 + 1 - B) \pm \frac{1}{2}\sqrt{(A^2 + 1 - B)^2 - 4A^2}. \quad (8)$$

Введем обозначения: $\delta = (A^2 + 1 - B)$ и $\sigma = A^2$, тогда уравнение перепишется

$$\lambda_{1,2} = -\frac{1}{2}\delta \pm \frac{1}{2}\sqrt{\delta^2 - 4\sigma}. \quad (9)$$

Проанализируем возможные случаи:

- $\delta = 0$, тогда $\lambda_{1,2}$ чисто мнимые и решение является центром
- $\delta^2 < 4\sigma$, тогда корни мнимые и устойчивость зависит от знака δ : при $\delta > 0$ устойчивый фокус, при $\delta < 0$ неустойчивый фокус
- $\delta^2 > 4\sigma$, значит, корни действительные и простой анализ показывает, что знак $\lambda_{1,2}$ также зависит от знака δ : при $\delta > 0$ устойчивый узел, при $\delta < 0$ неустойчивый узел
- $\sigma < 0$, тогда корни действительные, но разных знаков, реализуется случай седла

$\delta = 0$ точка, в которой происходит смена характера поведения решения с устойчивости на неустойчивость, происходит бифуркация. Если $Re(\lambda_{1,2}) = 0$, а $Im(\lambda_{1,2}) \neq 0$, то происходит бифуркация Андронова-Хопфа или бифуркация рождения (исчезновения) предельного цикла. Из устойчивого фокуса при изменении параметров A, B может родиться предельный цикл.

1.2 Предварительный анализ нераспределенного случая в Wolfram Mathematica

Прежде чем программировать задачу на C или Python, проанализируем ее, используя Wolfram Mathematica.

```
Export[FileNameJoin@{NotebookDirectory[], "animation a=1 b=1.gif"}, 
Animate[
A = 1; B = 1;
sol = NDSolve[{x'[t] == A + x[t]^2 y[t] - (B + 1) x[t], 
y'[t] == x[t]^2 y[t] + B x[t], x[0] == 1, y[0] == 2}, {x[t], 
y[t]}, {t, 0, T}];
ParametricPlot[{x[t], y[t]} /. sol, {t, 0, T}], {T, 1, 100}
], "GIF"]
```

В коде можно менять параметры A и B, а также смотреть на картинку с течением времени.

Прикрепим также зависимость $x(t)$ и $y(t)$:

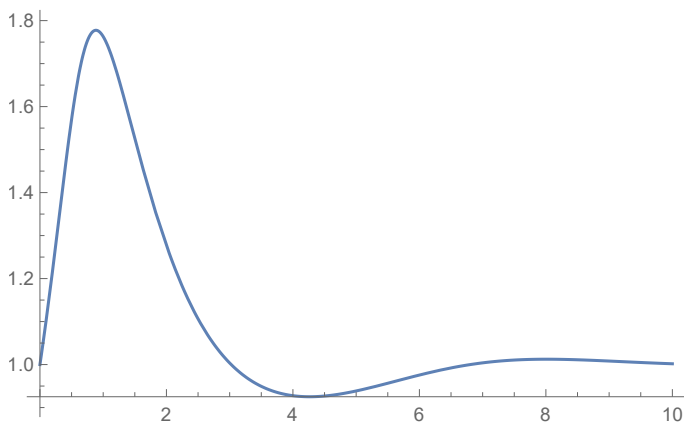


Рис. 1: Зависимость $x(t)$

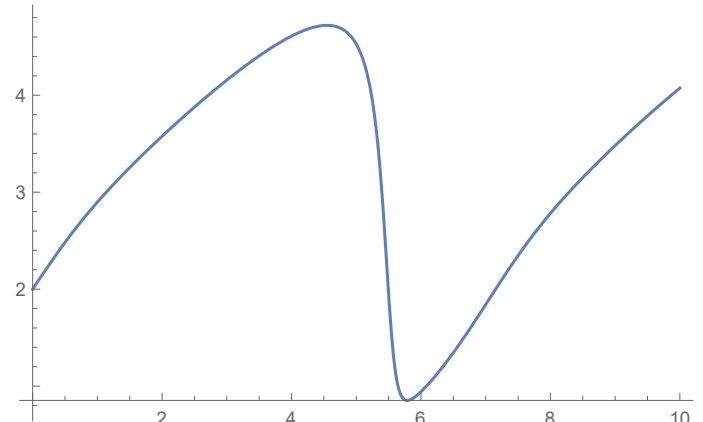


Рис. 2: Зависимость $y(t)$

Приведем характерные параметрические графики для случая $A=1, B=1$ и $A=1, B=3$. Как видно, в первом случае система устойчива, а во втором неустойчива. Это подтверждает пункт 1 отчета.

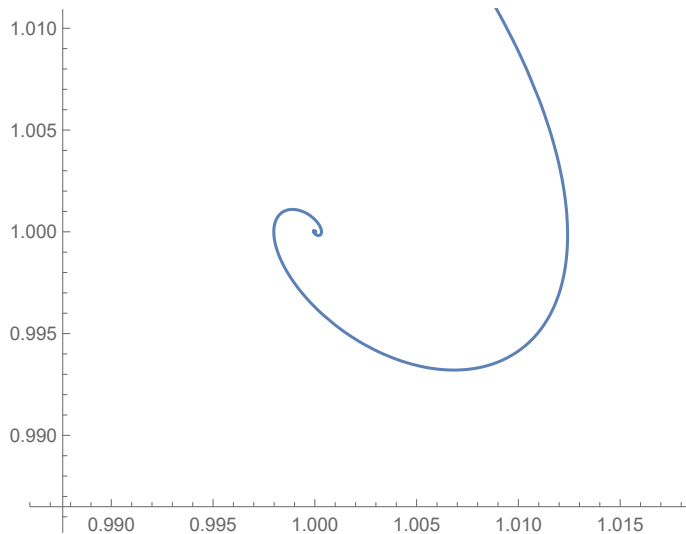


Рис. 3: A=1, B=1

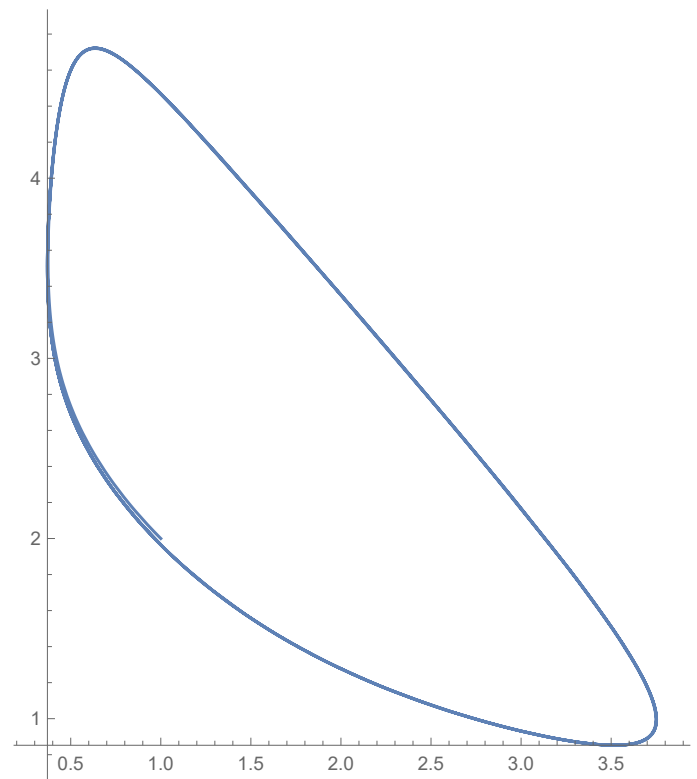


Рис. 4: A=1, B=3

1.3 Анализ нераспределенного случая на С

Будем использовать метод Рунге-Кутты.

Приведем исполняемый код:

```
#include <stdio.h>
#include<math.h>
#include<stdlib.h>

const float A = 1;
const float B = 3;

float F1(float u, float v)
{
    return (A + u*u*v - (B+1)*u);
}

float F2(float u, float v)
{
    return ( u*u*v + B*u );
}

void runge_kutt(float h, float* u, float* v, int N)
{
FILE* fp;
fp = fopen("brus", "w");
for (int i = 0; i < N; i++)
{
```

```

float k11 = 0, k12 = 0, k13 = 0, k14 = 0;
float k21 = 0, k22 = 0, k23 = 0, k24 = 0;
k11 = h*F1(u[ i ], v[ i ]); 
k21 = h*F2(u[ i ], v[ i ]); 
k12 = h*F1(u[ i ] + k11/2, v[ i ] + k21/2); 
k22 = h*F2(u[ i ] + k11/2, v[ i ] + k21/2); 
k13 = h*F1(u[ i ] + k12/2, v[ i ] + k22/2); 
k23 = h*F2(u[ i ] + k12/2, v[ i ] + k22/2); 
k14 = h*F1(u[ i ] + k13/2, v[ i ] + k23/2); 
k24 = h*F2(u[ i ] + k13/2, v[ i ] + k23/2); 
u[ i+1] = u[ i ] + (k11 + 2*k12 + 2*k13 + k14)/6; 
v[ i+1] = v[ i ] + (k21 + 2*k22 + 2*k23 + k24)/6; 
fprintf(fp , "%f , %f , %f \n" , h, u[ i ] , v[ i ] );
}
fclose(fp );
}

int main()
{
int n = 100000;
float u[n];
float v[n];
float t[n];

u[ 0 ] = 1;
v[ 0 ] = 2;
t[ 0 ] = 0;
t[ 100 ] = 20;
float tau = 0.001;
int N = (t[ 100 ] - t[ 0 ])/tau;
runge_kutt(tau , &u[ 0 ] , &v[ 0 ] , N);
return 0;
}

```

Построим три графика: $u(t)$, $v(t)$ и параметрический график u, v для двух случаев:

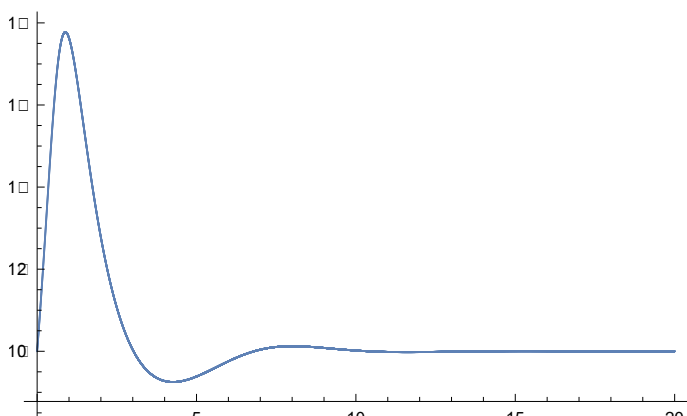


Рис. 5: $u(t)$ A=1, B=1

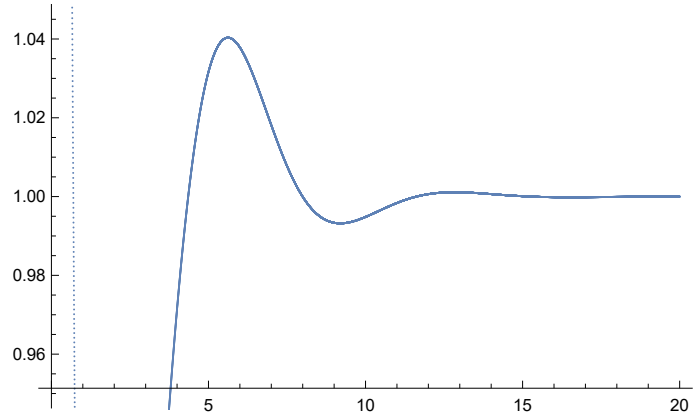


Рис. 6: $v(t)$ A=1, B=1

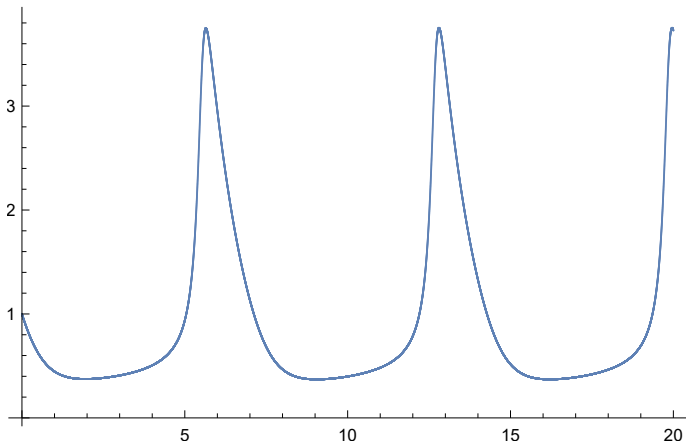


Рис. 7: $u(t)$ $A=1$, $B=3$

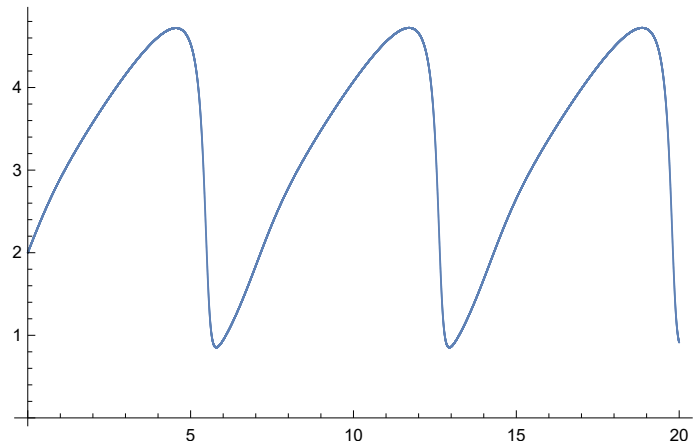


Рис. 8: $v(t)$ $A=1$, $B=3$

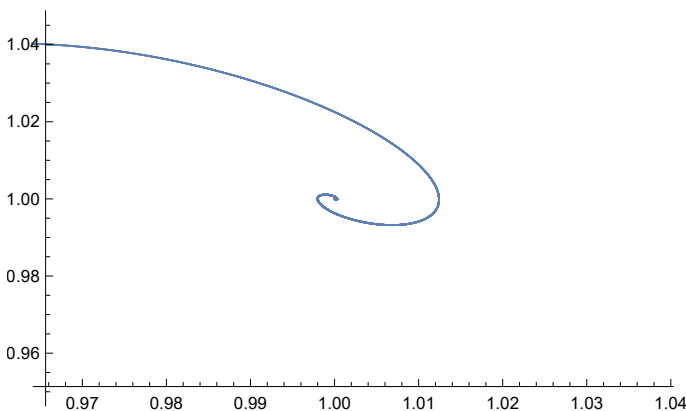


Рис. 9: $A=1$, $B=1$

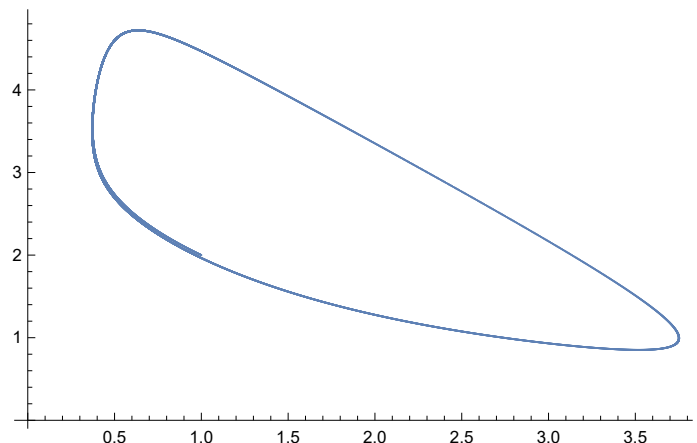


Рис. 10: $A=1$, $B=3$

Результаты совпадают с полученными в пункте 2.

2 Распределенный случай

2.1 Явная реализация

```
#include <stdio.h>
#include <stdlib.h>

const float A = 1;
const float B = 1;
const float Du = 1;
const float Dv = 100;

int main(){

float a = 0;
float b = 1;
float T = 1;
float t0 = 0;
float h = 0.01;
float tau = 0.01;
int Nx = (b - a) / h;
```

```

int Nt = (T - t0) / tau;

float ru = Du*tau/2/h/h;
float rv = Dv*tau/2/h/h;

float fu[Nt+1][Nx+1];
float fv[Nt+1][Nx+1];

for(int j = 0; j < Nt; j++){
    for(int i = 0; i < Nx; i++){
        fu[j][i] = 0.;
        fv[j][i] = 0.;
    }
}

double noiseu = 0.005*(rand()%100);
double noisev = 0.005*(rand()%100);
for(int i = 0; i <= Nx; i++){
    fv[0][i] = B/A + noisev;
    fu[0][i] = A + noiseu;
}

for(int j = 1; j <= Nt; j++){
for(int i = 1; i < Nx; i++){
    fu[j][i] = fu[j-1][i] + tau*(A+fu[j-1][i]*fu[j-1][i]*fv[j-1][i] - (B+1)*fu[j-1][i] + Du/h/h*(fu[j-1][i+1]+fu[j-1][i-1]-2*fu[j-1][i]));
    fv[j][i] = fv[j-1][i] + tau*( fu[j-1][i]*fu[j-1][i]*fv[j-1][i] + B*fu[j-1][i] + Dv/h/h*(fv[j-1][i+1]+fv[j-1][i-1]-2*fv[j-1][i]));
}
    fu[j][0] = fu[j][1];
    fv[j][0] = fv[j][1];
    fv[j][Nx] = fv[j][Nx-1];
    fu[j][Nx] = fu[j][Nx-1];
}

FILE* fp;
fp = fopen("brus.dat", "w");
for(int j = 0; j <= Nt; j++){
    for(int i = 0; i <= Nx; i++){
        fprintf(fp, "%f %f %f %f\n", j*tau, i*h, fu[j][i], fv[j][i]);
    }
}
fclose(fp);
return 0;
}

```

Приведем результат выполнения программы:

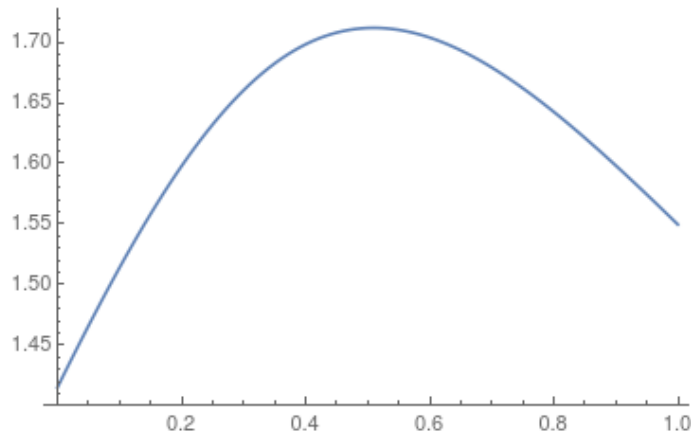


Рис. 11: Явная схема $u(t)$, $A=1$, $B=1$, $D_u = 1$, $D_v = 100$

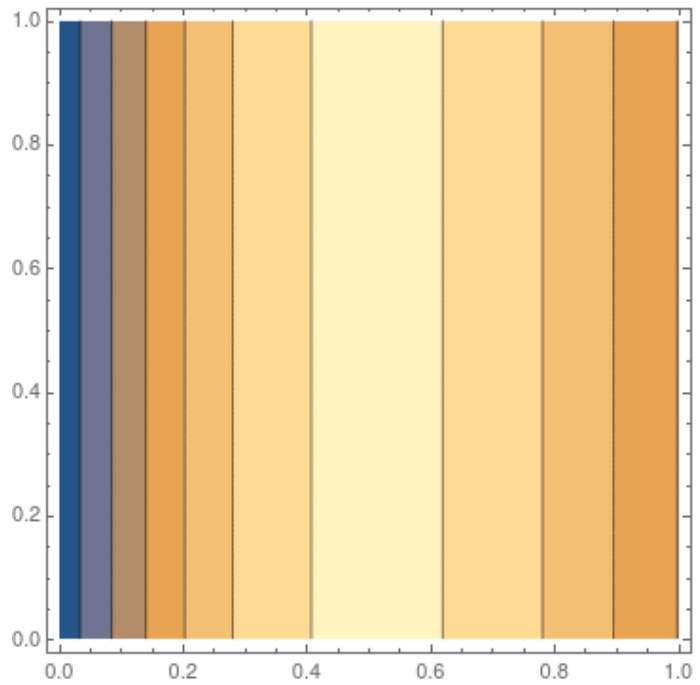


Рис. 12: Явная схема $u(t,x)$ $A=1$, $B=1$, $D_u = 1$, $D_v = 100$

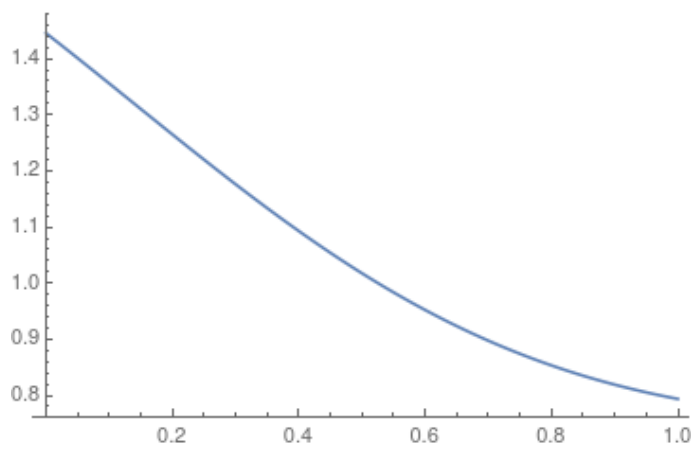


Рис. 13: Явная схема $v(t)$, $A=1$, $B=1$, $D_u = 1$, $D_v = 100$

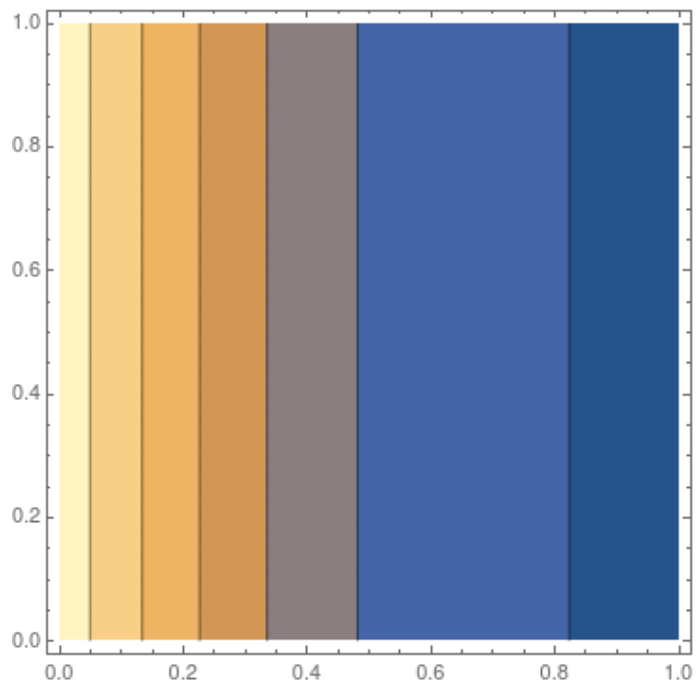


Рис. 14: Явная схема $v(t,x)$ $A=1$, $B=1$, $D_u = 1$, $D_v = 100$

2.2 Подготовительные расчеты

$$\begin{cases} \dot{u} = A + u^2v - (B + 1)u + D_u\Delta u, \\ \dot{v} = -u^2v + Bu + D_v\Delta v. \end{cases} \quad (10)$$

Границные условия:

$$\frac{\partial u}{\partial x}(0, t) = \frac{\partial u}{\partial x}(l, t) = \frac{\partial v}{\partial x}(0, t) = \frac{\partial v}{\partial x}(l, t) = 0. \quad (11)$$

Начальные условия:

$$u(x, 0) = A, \quad v(x, 0) = \frac{B}{A}. \quad (12)$$

$$u_1^{(k+1)} = u_0^{(k+1)} + \frac{\partial u}{\partial x} \Big|_0^{(k+1)} h + \frac{\partial^2 u}{\partial x^2} \Big|_0^{(k+1)} \frac{h^2}{2} \quad (13)$$

Выразим из первого уравнения брюсселятора 10 вторую производную по координате и подставим в предыдущее уравнение 13 (k - временная координата, j - пространственная):

$$\frac{\partial^2 u}{\partial x^2} = \frac{1}{D_u} \left(\frac{\partial u}{\partial t} - A - u^2 v + (B + 1)u \right) \quad (14)$$

$$u_1^{(k+1)} = u_0^{(k+1)} + \frac{\partial u}{\partial x} \Big|_0^{(k+1)} h + \frac{h^2}{2D_u} \left(\frac{\partial u}{\partial t} \Big|_0^{(k+1)} - A - u^2 v \Big|_0^{(k+1)} + (B + 1)u_0^{(k+1)} \right) \quad (15)$$

Выразим из 15 первую производную и приравняем ее нулю, так как граничным условием является нулевой поток.

$$\frac{\partial u}{\partial x} = \frac{1}{h} (u_1^{(k+1)} - u_0^{(k+1)}) - \frac{h^2}{2D_u} \left(\frac{\partial u}{\partial t} \Big|_0^{(k+1)} - A - u^2 v \Big|_0^{(k+1)} + (B + 1)u_0^{(k+1)} \right) = 0. \quad (16)$$

Разложим $(u^2 v) \Big|_0^{(k+1)}$ по формуле Тейлора:

$$(u^2 v) \Big|_0^{(k+1)} = (u^2) \Big|_0^{(k+1)} v_0^{(k+1)} + 2u_0^{(k)} v_0^{(k)} u_0^{(k+1)} - 2(u^2) \Big|_0^{(k)} v_0^{(k)}. \quad (17)$$

При этом

$$\frac{\partial u}{\partial t} \Big|_0^{(k+1)} = \frac{u_0^{(k+1)} - u_0^{(k)}}{\tau} \quad (18)$$

Подставим 17 и 18 в 16 и сгруппируем члены при $u_1^{(k+1)}$ и $u_0^{(k+1)}$.

$$b_0 u_0^{(k+1)} + c_0 u_1^{(k+1)} = d_0, \quad j = 0, \quad (19)$$

где

$$a_0 = 0, \quad b_0 = -\frac{1}{h} - \frac{h}{2D_u} ((B + 1) + \frac{1}{\tau} - 2u_0^{(k)} v_0^{(k)}), \quad c_0 = \frac{1}{h}, \quad d_0 = \frac{h^2}{2D_u} \left(-\frac{1}{\tau} u_0^{(k)} - A - (u^2) \Big|_0^{(k)} v_0^{(k+1)} + 2(u^2) \Big|_0^{(k)} v_0^{(k)} \right). \quad (20)$$

Аналогично потусумим для второй границы.

$$u_{N-1}^{(k+1)} = u_N^{(k+1)} + \frac{\partial u}{\partial x} \Big|_N^{(k+1)} h + \frac{\partial^2 u}{\partial x^2} \Big|_N^{(k+1)} \frac{h^2}{2} \quad (21)$$

$$u_{N-1}^{(k+1)} = u_N^{(k+1)} + \frac{\partial u}{\partial x} \Big|_N^{(k+1)} h + \frac{h^2}{2D_u} \left(\frac{\partial u}{\partial t} \Big|_N^{(k+1)} - A - u^2 v \Big|_N^{(k+1)} + (B + 1)u_N^{(k+1)} \right) \quad (22)$$

$$\frac{\partial u}{\partial x} = \frac{1}{h} (u_{N-1}^{(k+1)} - u_N^{(k+1)}) - \frac{h^2}{2D_u} \left(\frac{\partial u}{\partial t} \Big|_N^{(k+1)} - A - u^2 v \Big|_N^{(k+1)} + (B + 1)u_N^{(k+1)} \right) = 0. \quad (23)$$

$$\frac{\partial u}{\partial t} \Big|_N^{(k+1)} = \frac{u_N^{(k+1)} - u_N^{(k)}}{\tau} \quad (24)$$

$$a_N u_{N-1}^{(k+1)} + b_N u_N^{(k+1)} = d_N, \quad j = N, \quad (25)$$

где

$$a_N = \frac{1}{h}, \quad b_N = -\frac{1}{h} - \frac{h}{2D_u} ((B + 1) + \frac{1}{\tau} - 2u_N^{(k)} v_N^{(k)}), \quad c_N = 0, \quad d_N = \frac{h}{2D_u} \left(-\frac{1}{\tau} u_N^{(k)} - A - (u^2) \Big|_N^{(k)} v_N^{(k+1)} + 2(u^2) \Big|_N^{(k)} v_N^{(k)} \right). \quad (26)$$

Припишем к граничным конечно-разностным уравнениям 10 в виде:

$$\frac{u_j^{(k+1)} - u_j^{(k)}}{\tau} = \frac{D_u}{h^2}(u_{j+1}^{(k+1)} - 2u_j^{(k+1)} + u_{j-1}^{(k+1)}) + A + (u^2)_j^{(k)}v_j^{(k+1)} + 2u_j^{(k)}v_j^{(k)}u_j^{(k+1)} - 2(u^2)_j^{(k)}v_j^{(k)} - (B+1)u_j^{(k+1)}, j = \overline{1, N-1}. \quad (27)$$

$$a_j u_{j-1}^{(k+1)} + b_j u_j^{(k+1)} + c_j u_{j+1}^{(k+1)} = d_j, j = \overline{1, N-1}, \quad (28)$$

где

$$a_j = \frac{D_u}{h^2}, \quad b_j = -\frac{1}{\tau} - \frac{2D_u}{h^2} - (B+1) + 2u_j^{(k)}v_j^{(k)}, \quad c_j = \frac{D_u}{h^2}, \quad d_j = -(\frac{u_j^{(k)}}{\tau} + A + (u^2)_j^{(k)}v_j^{(k+1)} - 2(u^2)_j^{(k)}v_j^{(k)}). \quad (29)$$

По изложенному алгоритму поступим и со вторым уравнения брюсселятора.

$$b_0 v_0^{(k+1)} + c_0 v_1^{(k+1)} = d_0, \quad j = 0, \quad (30)$$

где

$$a_0 = 0, \quad b_0 = -\frac{1}{h} - \frac{h^2}{2D_v}(\frac{1}{\tau} + (u^2)_0^{(k)}), \quad c_0 = \frac{1}{h}, \quad d_0 = \frac{h^2}{2D_u}(-\frac{1}{\tau}v_0^{(k)} + 2u_0^{(k)}v_0^{(k)}u_0^{(k+1)} - 2(u^2)_0^{(k)}v_0^{(k)} - Bu_0^{(k+1)}). \quad (31)$$

$$a_N v_{N-1}^{(k+1)} + b_N v_N^{(k+1)} = d_N, \quad j = N, \quad (32)$$

где

$$a_0 = \frac{1}{h}, \quad b_0 = -\frac{1}{h} - \frac{h}{2D_v}(\frac{1}{\tau} + (u^2)_N^{(k)}), \quad c_N = 0, \quad d_N = \frac{h}{2D_v}(-\frac{1}{\tau}v_N^{(k)} + 2u_N^{(k)}v_N^{(k)}u_N^{(k+1)} - 2(u^2)_N^{(k)}v_N^{(k)} - Bu_N^{(k+1)}). \quad (33)$$

$$\frac{v_j^{(k+1)} - v_j^{(k)}}{\tau} = \frac{D_v}{h^2}(v_{j+1}^{(k+1)} - 2v_j^{(k+1)} + v_{j-1}^{(k+1)}) - (u^2)_j^{(k)}v_j^{(k+1)} - 2u_j^{(k)}v_j^{(k)}u_j^{(k+1)} + 2(u^2)_j^{(k)}v_j^{(k)} + Bu_j^{(k+1)}, j = \overline{1, N-1}. \quad (34)$$

$$a_j v_{j-1}^{(k+1)} + b_j v_j^{(k+1)} + c_j v_{j+1}^{(k+1)} = d_j, j = \overline{1, N-1}, \quad (35)$$

где

$$a_j = \frac{D_v}{h^2}, \quad b_j = -\frac{1}{\tau} - \frac{2D_u}{h^2} + (u^2)_j^{(k)}, \quad c_j = \frac{D_v}{h^2}, \quad d_j = -(\frac{v_j^{(k)}}{\tau} + 2(u^2)_j^{(k)}v_j^{(k)} + 2u_j^{(k)}v_j^{(k)}u_j^{(k+1)} + Bu_j^{(k+1)}). \quad (36)$$

Для каждого из уравнений получаем СЛАУ с трехдиагональной матрицей, решаемой методом прогонки:

$$A_j = -\frac{c_j}{b_j + a_j A_{j-1}}, \quad B_j = \frac{d_j - a_j B_{j-1}}{b_j + a_j A_{j-1}}, \quad A_0 = -\frac{c_0}{b_0}, \quad B_0 = \frac{d_0}{b_0}, \quad A_N = 0, j = \overline{0, N}; \quad (37)$$

$$u_j^{(k+1)} = A_j u_{j+1}^{(k+1)} + B_j, \quad u_N^{(k+1)} = B_N, j = N, N-1, \dots, 0. \quad (38)$$

2.3 Метод Кранка-Николсона

$$\begin{cases} \dot{u} = A + u^2 v - (B+1)u + D_u \Delta u, \\ \dot{v} = -u^2 v + Bu + D_v \Delta v. \end{cases} \quad (39)$$

Граничные условия:

$$\frac{\partial u}{\partial x}(0, t) = \frac{\partial u}{\partial x}(l, t) = \frac{\partial v}{\partial x}(0, t) = \frac{\partial v}{\partial x}(l, t) = 0. \quad (40)$$

Начальные условия:

$$u(x, 0) = A, \quad v(x, 0) = \frac{B}{A}. \quad (41)$$

Введем: p - пространственная координата, q - временная.

Приблизим вторую производную в уравнениях разностной схемой Кранка-Николсона, перегруппируем члены и

введем обозначения $r_u = \frac{D_u \tau}{2h^2}$, $r_v = \frac{D_v \tau}{2h^2}$, $f_u = f_u(u_p^{(q)}, v_p^{(q)}) = A + (u_p^{(q)})^2 v_p^{(q)} - (B + 1)u_p^{(q)}$, $f_v = f_v(u_p^{(q)}, v_p^{(q)}) = -(u_p^{(q)})^2 v_p^{(q)} - Bu_p^{(q)}$ (здесь τ - шаг времененной сетки, а h - пространственной:

$$\begin{aligned} u_p^{(q+1)} - u_p^{(q)} &= \frac{D_u \tau}{2h^2} (u_{p+1}^{(q+1)} - 2u_p^{(q+1)} + u_{p-1}^{(q+1)}) + \frac{D_u \tau}{2h^2} (u_{p+1}^{(q)} - 2u_p^{(q)} + u_{p-1}^{(q)}) + \tau f_u = \\ r_u (u_{p+1}^{(q+1)} - 2u_p^{(q+1)} + u_{p-1}^{(q+1)}) + r_u (u_{p+1}^{(q)} - 2u_p^{(q)} + u_{p-1}^{(q)}) + \tau f_u. \end{aligned} \quad (42)$$

$$u_p^{(q+1)} (1 + 2r_u) - r_u (u_{p+1}^{(q+1)} + u_{p-1}^{(q+1)}) = u_p^{(q)} + r_u (u_{p+1}^{(q)} - 2u_p^{(q)} + u_{p-1}^{(q)}) + \tau f_u. \quad (43)$$

$$\begin{cases} (1 + 2r_u)u_p^{q+1} - r_u (u_{p+1}^{q+1} + u_{p-1}^{q+1}) = u_p^{(q)} + r_u (u_{p+1}^{(q)} - 2u_p^{(q)} + u_{p-1}^{(q)}) + \tau f_u, \\ (1 + 2r_v)v_p^{q+1} - r_v (v_{p+1}^{q+1} + v_{p-1}^{q+1}) = v_p^{(q)} + r_v (v_{p+1}^{(q)} - 2v_p^{(q)} + v_{p-1}^{(q)}) + \tau f_v. \end{cases} \quad (44)$$

В левой части стоят три неизвестных величины, а в правой три известных. Получили тридиагональную матрицу. Учтем граничные условия:

$$u_0^{(q+1)} - u_0^{(q)} = r_u (u_1^{q+1} - 2u_0^{(q+1)} + u_{-1}^{(q+1)}) + r_u (u_1^{(q)} - 2u_0^{(q)} + u_{-1}^{(q)}) + \tau f_u. \quad (45)$$

Так как граничным условием является нулевой поток, $u_{-1}^{(q)} = u_1^{(q)}$ и уравнение перепишется в виде

$$u_0^{(q+1)} - u_0^{(q)} = 2r_u (u_1^{q+1} - u_0^{(q+1)}) + 2r_u (u_1^{(q)} - u_0^{(q)}) + \tau f_u. \quad (46)$$

$$(1 + 2r_u)u_0^{q+1} - 2r_u u_1^{q+1} = u_0^{(q)} + 2r_u (u_1^{(q)} - u_0^{(q)}) + \tau f_u. \quad (47)$$

Аналогично для второй границы и второй переменной.

Запишем в виде матрицы:

$$\begin{pmatrix} (1 + 2r_u) & -2r_u & 0 & 0 & 0 & \dots & 0 \\ -r_u & (1 + 2r_u) & -r_u & 0 & 0 & \dots & 0 \\ 0 & -r_u & (1 + 2r_u) & -r_u & 0 & \dots & 0 \\ \cdot & \cdot & \cdot & \cdot & \cdot & \ddots & \cdot \\ \cdot & \cdot & \cdot & \cdot & \cdot & \ddots & \cdot \\ \cdot & \cdot & \cdot & \cdot & \cdot & \ddots & \cdot \\ 0 & 0 & 0 & 0 & -r_u & (1 + 2r_u) & -r_u \\ 0 & 0 & 0 & 0 & 0 & -2r_u & (1 + 2r_u) \end{pmatrix} \begin{pmatrix} u_0^{q+1} \\ u_1^{q+1} \\ u_2^{q+1} \\ \vdots \\ u_{n-1}^{q+1} \\ u_n^{q+1} \end{pmatrix} = \quad (48)$$

$$\begin{pmatrix} u_0^{(q)} + 2r_u (u_1^{(q)} - u_0^{(q)}) + \tau f_u \\ u_1^{(q)} + r_u (u_2^{(q)} - 2u_1^{(q)} + u_0^{(q)}) + \tau f_u \\ u_2^{(q)} + r_u (u_3^{(q)} - 2u_2^{(q)} + u_1^{(q)}) + \tau f_u \\ \vdots \\ u_{n-1}^{(q)} + r_u (u_n^{(q)} - 2u_{n-1}^{(q)} + u_{n-2}^{(q)}) + \tau f_u \\ u_n^{(q)} + 2r_u (u_{n-1}^{(q)} - u_n^{(q)}) + \tau f_u \end{pmatrix} \quad (49)$$

Аналогичные выражения можно получить и для v .

$$\begin{pmatrix} (1 + 2r_v) & -2r_v & 0 & 0 & 0 & \dots & 0 \\ -r_v & (1 + 2r_v) & -r_v & 0 & 0 & \dots & 0 \\ 0 & -r_v & (1 + 2r_v) & -r_v & 0 & \dots & 0 \\ \cdot & \cdot & \cdot & \cdot & \cdot & \ddots & \cdot \\ \cdot & \cdot & \cdot & \cdot & \cdot & \ddots & \cdot \\ \cdot & \cdot & \cdot & \cdot & \cdot & \ddots & \cdot \\ 0 & 0 & 0 & 0 & -r_v & (1 + 2r_v) & -r_v \\ 0 & 0 & 0 & 0 & 0 & -2r_v & (1 + 2r_v) \end{pmatrix} \begin{pmatrix} v_0^{q+1} \\ v_1^{q+1} \\ v_2^{q+1} \\ \vdots \\ v_{n-1}^{q+1} \\ v_n^{q+1} \end{pmatrix} = \quad (50)$$

$$\begin{pmatrix} v_0^{(q)} + 2r_v(v_1^{(q)} - v_0^{(q)}) + \tau f_v \\ v_1^{(q)} + r_v(v_2^{(q)} - 2v_1^{(1)} + v_0^{(q)}) + \tau f_v \\ v_2^{(q)} + r_v(v_3^{(q)} - 2v_2^{(1)} + v_1^{(q)}) + \tau f_v \\ \vdots \\ v_{n-1}^{(q)} + r_v(v_n^{(q)} - 2v_{n-1}^{(1)} + v_{n-2}^{(q)}) + \tau f_v \\ v_n^{(q)} + 2r_v(v_{n-1}^{(q)} - v_n^{(q)}) + \tau f_v \end{pmatrix} \quad (51)$$

Так как обе матрицы имеют диагональное преобладание, то их можно решать методом прогонки.

2.4 Границные условия

Первый способ записать граничные условия - воспользоваться методом из предыдущего пункта.

$$\dot{u} = A + u^2 v - (B + 1)u + D_u \Delta u. \quad (52)$$

Так как на границе нулевой поток, то

$$u_1^{(k)} = u_0^{(k)} + \frac{\partial u}{\partial x} \Big|_0^{(k)} h + \frac{\partial^2 u}{\partial x^2} \Big|_0^{(k)} \frac{h^2}{2} = u_0^{(k)} + \frac{\partial^2 u}{\partial x^2} \Big|_0^{(k)} \frac{h^2}{2}. \quad (53)$$

Подставляем вторую производную из 53 в 52.

$$\dot{u} = A + u^2 v - (B + 1)u + \frac{2Du}{h^2}(u_1^{(k)} - u_0^{(k)}). \quad (54)$$

Производная по времени

$$u_0^{(k+1)} = u_0^{(k)} + \tau \dot{u} \Big|_0^k. \quad (55)$$

Значит,

$$u_0^{(k+1)} = u_0^{(k)} + \tau(A + (u_0^{(k)})^2 v_0^{(k)} - (B + 1)u_0^{(k)} + \frac{2Du}{h^2}(u_1^{(k)} - u_0^{(k)})). \quad (56)$$

Аналогично:

$$u_{N-1}^{(k+1)} = u_{N-1}^{(k)} + \tau(A + (u_{N-1}^{(k)})^2 v_{N-1}^{(k)} - (B + 1)u_{N-1}^{(k)} + \frac{2Du}{h^2}(u_{N-2}^{(k)} - u_{N-1}^{(k)})). \quad (57)$$

$$v_0^{(k+1)} = v_0^{(k)} + \tau(-(u_0^{(k)})^2 v_0^{(k)} + Bu_0^{(k)} + \frac{2Du}{h^2}(v_1^{(k)} - v_0^{(k)})). \quad (58)$$

$$v_{N-1}^{(k+1)} = v_{N-1}^{(k)} + \tau(-(u_{N-1}^{(k)})^2 v_{N-1}^{(k)} + Bu_{N-1}^{(k)} + \frac{2Du}{h^2}(v_{N-2}^{(k)} - v_{N-1}^{(k)})). \quad (59)$$

Второй более простой способ записать граничные условия:

$$\frac{\partial u}{\partial x} \Big|_{x=0}^q = 0 = \frac{u_1^q - u_0^q}{h}. \quad (60)$$

Отсюда

$$u_1^q = u_0^q, \quad u_n^q = u_{n-1}^q, \quad v_1^q = v_0^q, \quad v_n^q = v_{n-1}^q. \quad (61)$$

Третий способ записи граничных условий - метод фиктивного узла - реализован в предыдущем пункте.

2.5 Исследование устойчивости разностной схемы

2.5.1 Признак максимума

Рассмотрим первое уравнение брюсселятора:

$$\frac{u_p^{(q+1)} - u_p^{(q)}}{\tau} = D(u_p^{(q+1)} + u_p^{(q)}) + f_u. \quad (62)$$

Здесь D - оператор второй производной, равный $Du_p = \frac{u_{p+1}-2u_p+u_{p-1}}{2h^2}$. Так же это уравнение можно записать

$$\sum_{Q \in O(P)} M_h(P, Q)u(Q) = f_u(P). \quad (63)$$

Мы рассматриваем сетку с шагом h окрестности точки P . Приведем к каноническому виду:

$$A(p)u(P) = \sum_{Q \in O(P) \setminus P} B(P, Q)u(Q) + f_u(P). \quad (64)$$

В качестве центрального узла шаблона P выберем точку $P(x_p, t_{q+1})$, тогда

$$O(P) \setminus P = \{Q_1(x_p, t_q), Q_2(x_{p-1}, t_q), Q_3(x_{p+1}, t_q), Q_4(x_{p-1}, t_{q+1}), Q_5(x_{p+1}, t_{q+1})\}. \quad (65)$$

Из предыдущих вычислений:

$$(1 + 2r_u)u_p^{q+1} = r_u(u_{p+1}^{q+1} + u_{p-1}^{q+1}) + r_u(u_{p+1}^{(q)} + u_{p-1}^{(q)}) + (1 - 2r_u)u_p^{(q)} + \tau f_u. \quad (66)$$

Тогда коэффициенты канонической формы разностного уравнения будут иметь вид:

$$A(P) = 1 + 2r_u, \quad B(P, Q_1) = (1 - 2r_u), \quad B(P, Q_2) = B(P, Q_3) = B(P, Q_4) = B(P, Q_5) = r_u. \quad (67)$$

Воспользуемся принципом максимума. Для устойчивости разностной схемы достаточно, чтобы $A(P) > 0$, $B(P, Q_m) \geq 0$ $\forall m$ и $D(P) = A(P) - \sum_{Q \in O(P) \setminus P} B(P, Q) \geq 0$. В нашем случае эти условия выполняются: $A(P) = 1 + 2r_u > 0$ всегда, $B(P, Q_1) = (1 - 2r_u) \geq 0$, если $r_u < \frac{1}{2}$, $B(P, Q_2) = B(P, Q_3) = B(P, Q_4) = B(P, Q_5) = r_u \geq 0$ всегда и $D(P) = 1 + 2r_u - (1 - 2r_u) - 4r_u = 0$ всегда. Аналогичные условия можно написать для второго уравнения брюсселятора. Однако это условие является достаточным, но не необходимым. Его отсутствие необязательно влечет к потери устойчивости.

2.5.2 Энергетический критерий устойчивости

Воспользуемся энергетическим критерием устойчивости. Рассмотрим первое уравнение брюсселятора:

$$\frac{u_p^{(q+1)} - u_p^{(q)}}{\tau} = \frac{D_u}{2} \Lambda_{xx}(u_p^{(q+1)} + u_p^{(q)}) + f_u. \quad (68)$$

Здесь Λ_{xx} - оператор второй производной, равный $\Lambda_{xx}u_p = \frac{u_{p+1}-2u_p+u_{p-1}}{h^2}$. Приведем к каноническому виду:

$$(E - \frac{D_u \tau}{2} \Lambda_{xx}) \frac{u_p^{(q+1)} - u_p^{(q)}}{\tau} - D_u \Lambda_{xx}u_p^{(q)} = f_u. \quad (69)$$

Необходимым и достаточным условием устойчивости будет $E - \frac{D_u \tau}{2} \Lambda_{xx} \geq -\frac{\tau D_u}{2} \Lambda_{xx}$ или $E \geq 0$, что верно при любых шагах по пространству и времени. Аналогично для второго уравнения брюсселятора. То есть наша схема Кранка-Николсона абсолютной устойчива.

2.6 Исследование на устойчивость распределенного случая

Рассмотрим более общий случай:

$$\begin{cases} \frac{\partial u}{\partial t} = P(u, v, x) + D_u \frac{\partial^2 u}{\partial x^2}, \\ \frac{\partial v}{\partial t} = Q(u, v, x) + D_v \frac{\partial^2 v}{\partial x^2}. \end{cases} \quad (70)$$

Введем ξ и η - малые отклонения от решений системы $P(u, v) = 0$, $Q(u, v) = 0$. Тогда уравнения перепишутся:

$$\begin{cases} \frac{\partial \xi}{\partial t} = a\xi + b\eta + D_u \frac{\partial^2 \xi}{\partial x^2}, \\ \frac{\partial \eta}{\partial t} = c\xi + d\eta + D_v \frac{\partial^2 \eta}{\partial x^2}, \end{cases} \quad (71)$$

где

$$a = \frac{\partial P}{\partial u}, \quad b = \frac{\partial P}{\partial v}, \quad c = \frac{\partial Q}{\partial u}, \quad d = \frac{\partial Q}{\partial v}. \quad (72)$$

Решение будем искать в виде $\xi(t, x) = \bar{A}e^{pt}e^{ikx}$, $\eta(t, x) = \bar{B}e^{pt}e^{ikx}$.

Подставим в систему и сократим на экспоненты, получим:

$$\begin{cases} \bar{A}p = a\bar{A} + b\bar{B} - D_u k^2 \bar{A}, \\ \bar{B}p = c\bar{A} + d\bar{B} - D_v k^2 \bar{B}. \end{cases} \quad (73)$$

\bar{A} и \bar{B} не равны нулю, если

$$(p - a + k^2 D_u)(p - d + k^2 D_v) - bc = 0. \quad (74)$$

$$p^2 + p((D_u + D_v)k^2 - a - d) + (a - k^2 D_u)(d + k^2 D_v) + bc = 0. \quad (75)$$

Решения этого уравнения:

$$p_{1,2} = \frac{a + d - (D_u + D_v)k^2 \pm \sqrt{(a + d - k^2(D_u + D_v))^2 - 4(a - k^2 D_u)(d + k^2 D_v) - 4bc}}{2}. \quad (76)$$

Или, вводя обозначения $\Delta = (D_u + D_v)k^2 - a - d$, $\Sigma = (a - k^2 D_u)(d + k^2 D_v) + bc$,

$$p^2 + \Delta p + \Sigma = 0. \quad (77)$$

$$p_{1,2} = \frac{-\Delta \pm \sqrt{\Delta^2 - 4\Sigma}}{2}. \quad (78)$$

Знак действительной части $p_{1,2}$ показывает, будет ли решением устойчивым.

В нашем случае

$$a = \frac{\partial P}{\partial u} = B - 1, \quad b = \frac{\partial P}{\partial v} = A^2, \quad c = \frac{\partial Q}{\partial u} = -B, \quad d = \frac{\partial Q}{\partial v} = -A^2. \quad (79)$$

и дисперсионное уравнение имеет вид:

$$(p - B + 1 + k^2 D_u)(p + A^2 + k^2 D_v) + BA^2 = 0. \quad (80)$$

$$p_{1,2} = \frac{B - 1 - A^2 - (D_u + D_v)k^2 \pm \sqrt{(B - 1 - A^2 - k^2(D_u + D_v))^2 - 4A^2B + 4(B - 1 - k^2 D_u)(A^2 + k^2 D_v)}}{2}. \quad (81)$$

Построим график $p_{1,2}(k)$:

```
Assuming[{k > 0},
Block[{B = 3, A = 1, Du = 1, Dv = 100},
p1[k_] := 0.5*(B - 1 - A^2 - (Du + Dv) k^2 + Sqrt[(B - 1 - A^2 - (Du + Dv) k^2)^2 - 4A^2B + 4(B - 1 - k^2 D_u)(A^2 + k^2 D_v)]);
p2[k_] := 0.5*(B - 1 - A^2 - (Du + Dv) k^2 - Sqrt[(B - 1 - A^2 - (Du + Dv) k^2)^2 - 4A^2B + 4(B - 1 - k^2 D_u)(A^2 + k^2 D_v)]);
realp1[k_] := Re@p1[k]];

```

```

realp2[k_] := Re@p2[k];
Show[Plot[{realp1[k], realp2[k]}, {k, 0, 2}, PlotRange > {{0, 2}, {2, 2}}]]
]

```

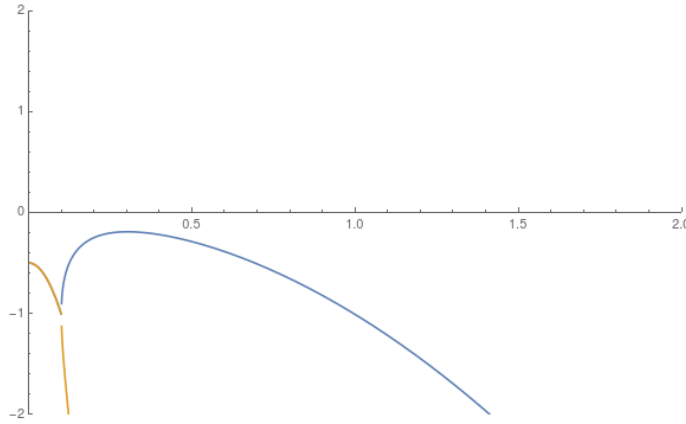


Рис. 15: Дисперсионная кривая $A=1$, $B=1$, $D_u = 1$, $D_v = 100$

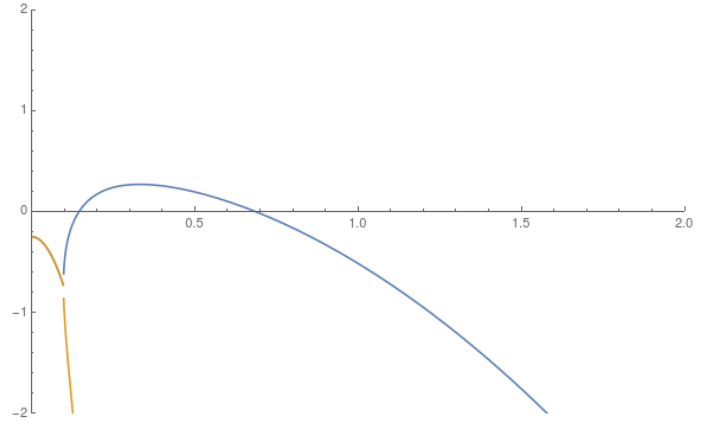


Рис. 16: Дисперсионная кривая $A=1$, $B=1.5$, $D_u = 1$, $D_v = 100$

2.7 Неустойчивость Тьюринга

Определим условия возникновения диффузионной неустойчивости (обусловленной только процессами диффузии). Это означает, что однородное стационарное состояние будет устойчивым по отношению к малым однородным возмущениям (соответствующая точечная система устойчива) и не устойчива по отношению к малым пространственно неоднородным возмущениям.

В нераспределенном случае дисперсионное уравнение 7 выглядит так:

$$\lambda^2 + \delta\lambda + \sigma = 0, \quad (82)$$

где $\delta = -a - d$ и $\sigma = ad - bc$. Решение устойчиво, если $\delta > 0$ и $\sigma > 0$.

Распределенный случай 83:

$$p^2 + \Delta p + \Sigma = 0, \quad (83)$$

где $\Delta = (D_u + D_v)k^2 - a - d$, $\Sigma = k^4 D_u D_v - k^2(aD_v + dD_u) + ad - bc$. Решение неустойчиво, если либо $\Delta < 0$, либо $\Sigma < 0$. Так как $\delta > 0$, то $\Delta = (D_u + D_v)k^2 + \delta$ также будет больше нуля. Значит, для наблюдения неустойчивости, необходимо, чтобы $\Sigma < 0$.

Таким образом для возникновения неустойчивости Тьюринга необходимо, чтобы

$$\begin{cases} a + d < 0, \\ ad - bc > 0, \\ k^4 D_u D_v - k^2(aD_v + dD_u) + ad - bc < 0. \end{cases} \quad (84)$$

Рассмотрим третье условие. Так как $k^4 D_u D_v$ и $ad - bc$ больше нуля, то Σ может стать меньше нуля только засчет $-k^2(aD_v + dD_u)$. То есть для неустойчивости необходимо, чтобы $aD_v + dD_u > 0$. Получили систему:

$$\begin{cases} a + d < 0, \\ aD_v + dD_u > 0. \end{cases} \quad (85)$$

Чтобы она выполнялась, необходимо, чтобы a и d были разных знаков. В случае брюсселятора $d = -A^2 < 0$, то есть $a = B - 1 > 0$. То есть $B > 1$.

Чтобы было $a + d < 0$, нужно, чтобы $|a| < |d|$. Иными словами $\frac{B-1}{A^2} < 1$.

$$aD_v + dD_u > 0 \quad (86)$$

$$D_u(a\frac{D_v}{D_u} + d) > 0 \quad (87)$$

Другими словами необходимо, чтобы $\frac{D_v}{D_u} > 1$, $D_v > D_u$. Разница коэффициентов диффузии является необходимым условием наличия неустойчивости Тьюринга.

Теперь проанализируем $f(k^2) = k^4 D_u D_v - k^2(a D_v + d D_u) + ad - bc$. Дискриминант $D = (a D_v + d D_u)^2 - 4 D_u D_v + \sigma$. Чтобы парабола $f(k^2)$ пересекала ось абсцисс, нужно, чтобы $D \geq 0$. Критическое состояние $D = 0$, решим его относительно $D_{cr} = \frac{D_v}{D_u}$:

$$(a D_v + d D_u)^2 - 4 D_u D_v + \sigma = 0, \quad (88)$$

$$(a D_{cr} + d)^2 - 4 D_{cr} \sigma = 0, \quad (89)$$

$$a^2 D_{cr}^2 + 2(da - 2\sigma) D_{cr} + d^2 = 0. \quad (90)$$

Его решения:

$$D_{cr1,2} = \frac{2\sigma - ad \pm 2\sqrt{\sigma}\sqrt{\sigma - ad}}{a^2}. \quad (91)$$

Так как отношение концентраций должно быть числом положительным, то подходит только корень с плюсом. Делаем вывод, что для наблюдения диффузной неустойчивости необходимо, чтобы

- $a + d < 0$, $a > 0, d < 0$
- $ad - bc > 0$
- $\frac{D_v}{D_u} > \frac{2\sigma - ad + 2\sqrt{\sigma}\sqrt{\sigma - ad}}{a^2}$

При этом

$$k_{cr}^2 = \frac{a D_{cr} + d}{2 D_u D_{cr}}. \quad (92)$$

А число диссипативных структур будет равно $\lceil \frac{k_{cr}}{2\pi} \rceil$.

В случае брюсселятора:

$$D_{cr} = \frac{A^2}{(\sqrt{B} - 1)^2}, \quad k_{cr}^2 = \frac{\sqrt{B} - 1}{D_u}, \quad n = \frac{k_{cr}}{2\pi} = \frac{1}{2\pi} \sqrt{\frac{\sqrt{B} - 1}{D_u}} \quad (93)$$

2.8 Реализация на С

Напишем программу, подсчитывающую значения концентраций, используя метод разделения по физическим процессам. Разностную схему приблизим шеститочечной схемой Кранка-Николсона.

Опишем алгоритм подбора параметров пространственно-временной сетки:

1. Зафиксируем параметры брюсселятора: коэффициенты A, B, D_u и D_v .
2. Строим график зависимости $Re(p_{1,2}(k))$ для данных параметров.
3. Находим k_{min} и k_{max} , соответствующие смене знака реальной части $p_{1,2}$ и, соответственно, наступлению зоны седловой неустойчивости.
4. $\lambda_{min} = \frac{2\pi}{k_{max}}$, $\lambda_{max} = \frac{2\pi}{k_{min}}$ - границы интервала длин волн, которые будут неустойчивы.
5. λ_{max} должна войти в пространственную область несколько раз, поэтому $b \approx 5\lambda_{max}$.
6. В волну должно укладываться несколько шагов сетки, тогда $h \approx \frac{\lambda_{min}}{10}$.
7. Всего шагов по пространству будет $\frac{b}{h} \approx 50 \frac{\lambda_{max}}{\lambda_{min}} \approx 100$.
8. Исходя из h подберем шаг временной сетки так, чтобы $\frac{D_v \tau}{h^2} < \frac{1}{2}$, то есть $\tau < \frac{h^2}{2D_v}$.

```

#include <stdio.h>
#include <stdlib.h>

const float A = 1;
const float B = 1.97;
const float Du = 1;
const float Dv = 7;

float F1(float u, float v)
{
    return (A + u*u*v (B+1)*u);
}

float F2(float u, float v)
{
    return ( u*u*v + B*u);
}

float runge_kutt(float h, float u, float v, int f)
{
    float k11 = 0, k12 = 0, k13 = 0, k14 = 0;
    float k21 = 0, k22 = 0, k23 = 0, k24 = 0;
    k11 = h*F1(u, v);
    k21 = h*F2(u, v);
    k12 = h*F1(u + k11/2, v + k21/2);
    k22 = h*F2(u + k11/2, v + k21/2);
    k13 = h*F1(u + k12/2, v + k22/2);
    k23 = h*F2(u + k12/2, v + k22/2);
    k14 = h*F1(u + k13/2, v + k23/2);
    k24 = h*F2(u + k13/2, v + k23/2);
    u = u + (k11 + 2*k12 + 2*k13 + k14)/6;
    v = v + (k21 + 2*k22 + 2*k23 + k24)/6;

    if( f==1) return u;
    if( f==2) return v;
}

void solve_tridiagonal(float * x, int X, float * a, float * b, float * c, float* d) {
/*
solves Ax = d where A is a tridiagonal matrix consisting of vectors a, b, c
x contains the input vector x indexed from 0 to X - 1 inclusive
X number of equations (length of vector x)
a subdiagonal (means it is the diagonal below the main diagonal), indexed from 1
to X - 1 inclusive
b the main diagonal, indexed from 0 to X - 1 inclusive
c superdiagonal (means it is the diagonal above the main diagonal), indexed from
0 to X - 2 inclusive
d right part of equation , indexed from 0 to X 1
*/
float q[X];
float p[X];

p[0] = c[0] / b[0];

```

```

q[0] = d[0] / b[0];

for (int ix = 1; ix <= X; ix++) {
    float m = 1.0 / (b[ix-1] - a[ix-1] * p[ix-1]);
    p[ix] = c[ix-1] * m;
    q[ix] = (d[ix-1] + a[ix-1] * q[ix-1]) * m;
}
x[X-1] = q[X];

for (int ix = X-2; ix >= 0; ix--)
    x[ix] = q[ix+1] + p[ix+1] * x[ix+1];
}

int main() {
FILE* fp;
fp = fopen("newsolver.dat", "w");

float a = 0;
float b = 182;
float T = 20;
float t0 = 0;
float h = 0.6;
float tau = 0.001;
int Nx = (b - a) / h;
int Nt = (T - t0) / tau;

int count = 0;

float ru = Du*tau/2/h/h;
float rv = Dv*tau/2/h/h;

float au[Nx+1]; float bu[Nx+1]; float cu[Nx+1];
float av[Nx+1]; float bv[Nx+1]; float cv[Nx+1];
au[0] = 0.; av[0] = 0.;
au[Nx] = 2*ru;
av[Nx] = 2*rv;

for (int i=1; i<Nx; i++){
    av[i] = rv;
    au[i] = ru;
}
for (int i=0; i<=Nx; i++){
    bu[i] = 1+2*ru;
    bv[i] = 1+2*rv;
}
cu[Nx] = 0.;
cv[Nx] = 0.;
cu[0] = 2*ru;
cv[0] = 2*rv;
for (int i=1; i<Nx; i++){
    cv[i] = rv;
    cu[i] = ru;
}
}

```

```

float fu [ 2 ][ Nx+1];
float fv [ 2 ][ Nx+1];

for(int j = 0; j < 2; j++){
    for(int i = 0; i <= Nx; i++){
        fu [ j ][ i ] = 0.;
        fv [ j ][ i ] = 0.;
    }
}
float noiseu = 0.005*(rand()%100);
float noisev = 0.005*(rand()%100);
for(int i = 0; i <= Nx; i++){
    fv [ 0 ][ i ] = B/A + noisev;
    fu [ 0 ][ i ] = A + noiseu;
}

float urightpart [Nx+1];
float vrightpart [Nx+1];
float u[Nx+1];
float v[Nx+1];

for(int i = 0; i <= Nx; i++){
    v[ i ] = 0;
    u[ i ] = 0;
}

while(count*tau<T){

    for(int i = 0; i<=Nx; i++){
        fu [ 1 ][ i ] = runge_kutt(tau , fu [ 0 ][ i ], fv [ 0 ][ i ], 1 );
        fv [ 1 ][ i ] = runge_kutt(tau , fu [ 0 ][ i ], fv [ 0 ][ i ], 2 );
    }

    urightpart [ 0 ] = fu [ 1 ][ 0 ] + 2*ru*(fu [ 0 ][ 1 ] - fu [ 0 ][ 0 ]) ;
    vrightpart [ 0 ] = fv [ 1 ][ 0 ] + 2*rv*(fv [ 0 ][ 1 ] - fv [ 0 ][ 0 ]) ;
    urightpart [ Nx ] = fu [ 1 ][ Nx ] + 2*ru*(fu [ 0 ][ Nx-1 ] - fu [ 0 ][ Nx ]) ;
    vrightpart [ Nx ] = fv [ 1 ][ Nx ] + 2*rv*(fv [ 0 ][ Nx-1 ] - fv [ 0 ][ Nx ]) ;

    for(int i = 1; i < Nx; i++){
        urightpart [ i ] = fu [ 1 ][ i ]+ru*(fu [ 0 ][ i+1 ] - 2*fu [ 0 ][ i ] + fu [ 0 ][ i-1 ]) ;
        vrightpart [ i ] = fv [ 1 ][ i ]+rv*(fv [ 0 ][ i+1 ] - 2*fv [ 0 ][ i ] + fv [ 0 ][ i-1 ]) ;
    }

    solve_tridiagonal(u, Nx+1, au, bu, cu, urightpart);
    solve_tridiagonal(v, Nx+1, av, bv, cv, vrightpart);
    for(int i = 0; i < Nx+1; i++){
        fu [ 1 ][ i ] = u[ i ];
        fv [ 1 ][ i ] = v[ i ];
    }
    count++;
    for(int i = 0; i <= Nx; i++){
        fprintf(fp , "%f %f %f %f \n" , (count-1)*tau , i*h , fu [ 1 ][ i ] , fv [ 1 ][ i ]);
    }
    fprintf(fp , "\n");
}

```

```

    for( int i = 0; i <= Nx; i++){
        fu[0][ i] = fu[1][ i];
        fv[0][ i] = fv[1][ i];
    }

}

fclose(fp);
return 0;
}

```

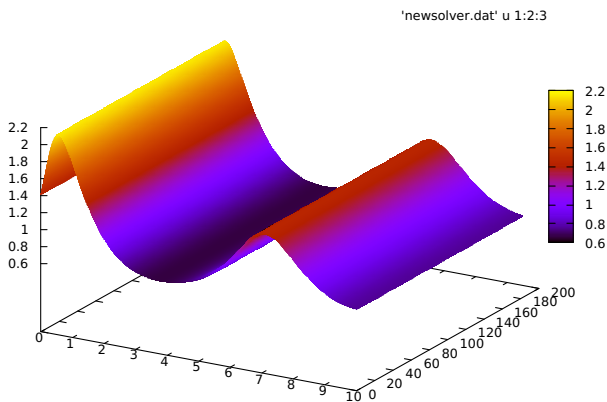


Рис. 17: $u(x,t)$ $A = 1$, $B = 1.5$, $D_u = 1$, $D_v = 100$, $T = 10$

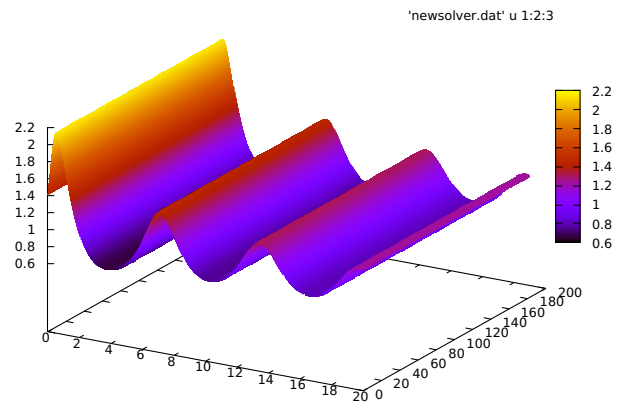


Рис. 18: $u(x,t)$ $A = 1$, $B = 1.5$, $D_u = 1$, $D_v = 100$, $T = 20$

2.9 Анализ распределенного случая на Wolfram

```

noisefunc[const_, nperturb_: 10, noisefract_: 0.1] :=Module[{ipoints, ridx}, ipoints =
Table[{xi, const}, {xi, 0.0, 1.0, 0.01}];
ridx = Table[RandomInteger[{10, 90}], {nperturb}];
Do[ipoints[[ridx[[ri]]]][[2]] += noisefract*RandomReal[{1, 1}], {ri, nperturb}];
Return[Interpolation[ipoints, Method -> "Spline"]];

nfu = noisefunc[1.0];
nfv = noisefunc[1.0];

soluv = NDSolve[{D[u[x, t], t] == Du *Derivative[2, 0][u][x, t] + a (b + 1) u[x, t] +
v[x, t] (u[x, t])^2,
D[v[x, t], t] == Dv *Derivative[2, 0][v][x, t] + b u[x, t] - v[x, t] (u[x, t])^2,
u[x, 0] == nfu[x],
v[x, 0] == nfv[x],
Derivative[1, 0][u][0, t] == 0,
Derivative[1, 0][u][L, t] == 0,
Derivative[1, 0][v][0, t] == 0,
Derivative[1, 0][v][L, t] == 0} /. {L > 50, Du > 1, Dv > 100, a > 1, b > 1}, {
u, v}, {x, 0, 50}, {t, 0, 0.05 4000}, MaxSteps -> {15, Infinity}]

```

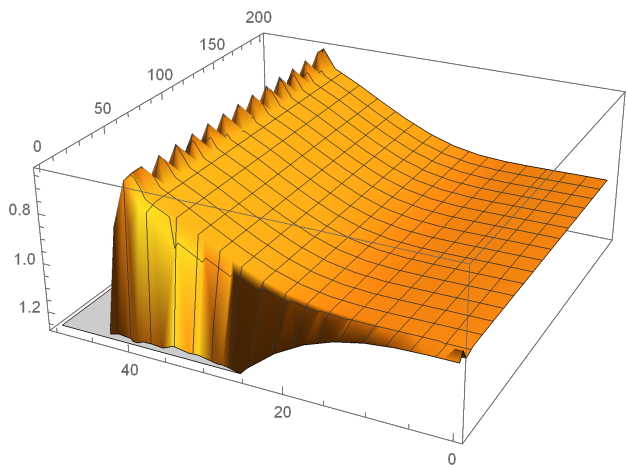


Рис. 19: $u(x,t)$ $A = B=1$, $Du = 1$, $Dv = 100$

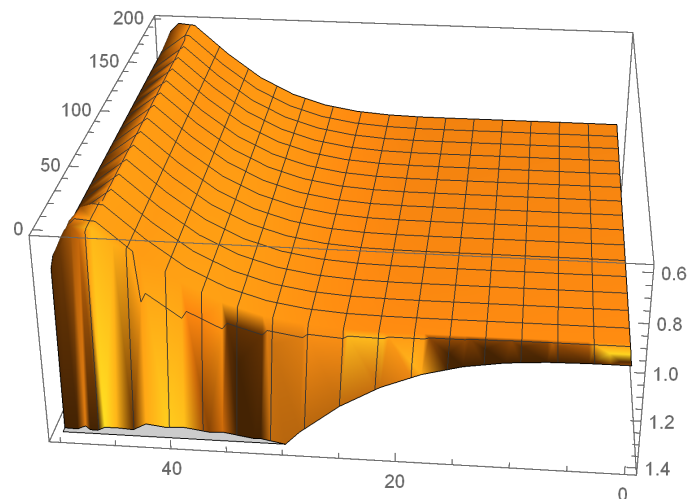


Рис. 20: $v(x,t)$ $A = B=1$, $Du = 1$, $Dv = 100$

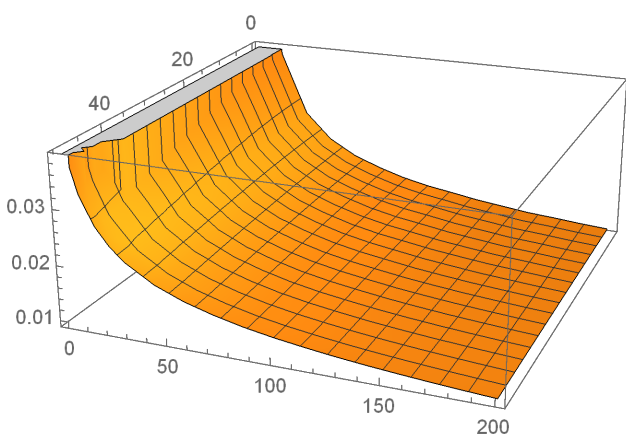


Рис. 21: $u(t)$ $A =1$, $B=1.5$, $Du = 1$, $Dv = 100$

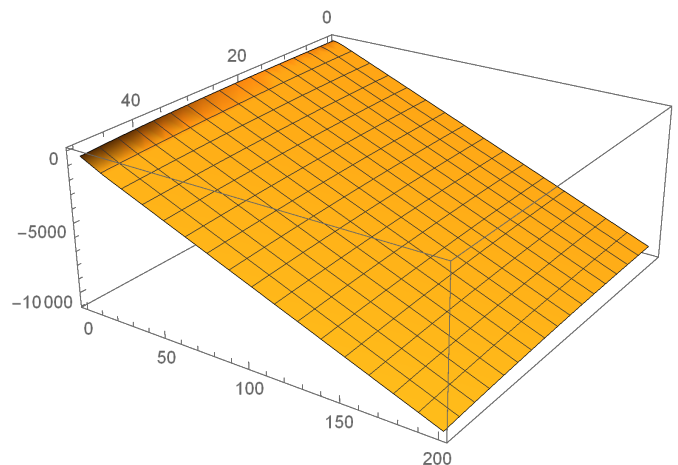


Рис. 22: $u(t)$ $A =1$, $B=1.5$, $Du = 1$, $Dv = 100$